



# Math-Net.Ru

Общероссийский математический портал

В. Д. Лахно, Усиление электромагнитных волн черенковскими электронами в одноосном антиферромагнетике в сильном магнитном поле, *Физика твердого тела*, 1985, том 27, выпуск 10, 2920–2925

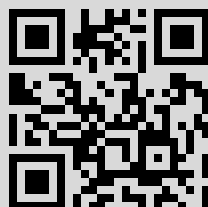
Использование Общероссийского математического портала Math-Net.Ru подразумевает, что вы прочитали и согласны с пользовательским соглашением

<http://www.mathnet.ru/rus/agreement>

Параметры загрузки:

IP: 217.26.18.36

21 марта 2022 г., 22:26:03



УДК 537.314.33+621.382.029.6

## УСИЛЕНИЕ ЭЛЕКТРОМАГНИТНЫХ ВОЛН ЧЕРЕНКОВСКИМИ ЭЛЕКТРОНАМИ В ОДНООСНОМ АНТИФЕРРОМАГНЕТИКЕ В СИЛЬНОМ МАГНИТНОМ ПОЛЕ

В. Д. Лазно

Вычислен коэффициент усиления спиновых волн черенковскими электронами в анизотропном антиферромагнетике, помещенном в сильное магнитное поле. Найдены условия усиления электромагнитных волн. В отличие от ферромагнетиков величина коэффициента усиления в антиферромагнетике оказывается на 4—5 порядков больше, облегчая тем самым экспериментальное изучение эффекта.

Наиболее перспективным подходом для создания усилителя электромагнитных волн в миллиметровом и в более коротком (до десятков микрон) диапазонах длин волн в настоящее время представляется использование усиления спиновых волн в магнитоупорядоченных кристаллах.

Одним из возможных механизмов такого усиления и генерации спиновых волн является черенковский механизм излучения магнонов быстрыми электронами. Применительно к ферромагнетику такой механизм рассматривался в [1, 2]. Существенно, что в силу сохранения полного спина системы вклад в усиление спиновых волн в этом случае дает только релятивистское взаимодействие частиц с намагниченностью кристалла. Это обстоятельство приводит к необходимости использования электронов со скоростями, близкими к световой [1].

Совершенно иной оказывается ситуация для носителей тока в антиферромагнетике (АФ). Как показано в [3], в антиферромагнетике снимается запрет на  $s$ — $f$ -обменный механизм генерации магнонов, открывая тем самым путь для эффективной генерации спиновых волн, причем наиболее значительным этот эффект становится в магнитном поле. Преобразование усиленных спиновых волн в электромагнитные должно иметь место вблизи антиферромагнитного резонанса (АФР). В изотропном антиферромагнетике такое преобразование затруднено тем обстоятельством, что носители тока в этом случае возбуждают акустические магноны, в то время как при АФР электромагнитная волна взаимодействует с оптической ветвью колебаний АФ. Поэтому практический интерес представляет расчет коэффициента усиления спиновых волн носителями тока в анизотропных АФ, где имеет место АФР на обеих ветвях колебаний намагниченности антиферромагнетика. Ниже будет рассмотрен случай АФ с одноосной анизотропией.

### 1. Гамильтониан $s$ — $f$ -обмена в одноосном АФ

В общем виде гамильтониан, описывающий движение электрона проводимости в анизотропном АФ, помещенном в магнитное поле, имеет вид [4]

$$\left. \begin{aligned} \mathcal{H} &= \mathcal{H}_e + \mathcal{H}_{\text{int}} + \mathcal{H}_M, \\ \mathcal{H}_e &= \frac{1}{2m^*} \left( \mathbf{p} + \frac{e}{c} \mathbf{A} \right)^2, \quad \mathcal{H}_{\text{int}} = - \sum_{m, m'} A (R_m - R_{m'}) (S_m - \sigma_{m'}), \\ \mathcal{H}_M &= - \frac{1}{2} \sum_{i, m_1, m_1'} I_{m_1, m_1'}^i S_{m_1}^i S_{m_1'}^i - \frac{1}{2} \sum_{i, m_2, m_2'} I_{m_2, m_2'}^i S_{m_2}^i S_{m_2'}^i - \\ &\quad - \sum_{i, m_1, m_2} I_{m_1, m_2}^i S_{m_1}^i S_{m_2}^i - \sum_{i, m_1} S_{m_1}^i H_i - \sum_{i, m_2} S_{m_2}^i H_i, \end{aligned} \right\} \quad (1)$$

где  $\mathcal{H}_e$  описывает движение электрона в магнитном поле с векторным потенциалом  $\mathbf{A}$ ;  $\mathcal{H}_{\text{int}}$  отвечает взаимодействию электрона проводимости с магнитной подсистемой кристалла с константой  $S$ — $f$ -обмена, которую в дальнейшем будем полагать равной  $A_{mm'} = A \delta_{mm'}$ ;  $\mathcal{H}_M$  — обменный гамильтониан анизотропного АФ, помещенного в магнитное поле  $H$  ( $H$  — в энергетических единицах). Для одноосного АФ с осью анизотропии вдоль оси  $y$  интегралы обмена имеют вид

$$I_{mn}^x = I_{mn}^z = I_{mn}, \quad I_{mn}^y = I_{mn} + \Delta I_{mn}. \quad (2)$$

Ограничиваясь в дальнейшем случае, когда имеется взаимодействие только между двумя эквивалентными подрешетками. введем обозначения:

$$\sum_{m_1, m_2} I_{m_1 m_2} S^2 = N J_{12}, \quad \sum_{m_1, m_2} \Delta I_{m_1 m_2} S^2 = N \Delta J_{12}, \quad (3)$$

где  $N$  — число магнитных атомов в подрешетке.

Рассмотрим случай, когда внешнее магнитное поле  $\mathbf{H}$  направлено вдоль оси  $z$ , т. е. перпендикулярно оси анизотропии. В этом случае во всём интервале изменения  $H$  вектор намагничённости АФ направлен вдоль поля ( $\Delta J_{12} < 0$ ). Считая поле достаточно сильным, так что спин электрона полностью поляризован в направлении поля, и переходя в  $\mathcal{H}_M$ ,  $\mathcal{H}_{\text{int}}$  к представлению операторов рождения и уничтожения магнонов  $\xi^+$ ,  $\xi$  и операторов рождения и уничтожения электронов  $a^+$ ,  $a$  в  $\mathcal{H}_e$ ,  $\mathcal{H}_{\text{int}}$  получим вместо (1)

$$\left. \begin{aligned} \mathcal{H} &= \mathcal{H}_e + \mathcal{H}_{\text{int}}^{(1)} + \mathcal{H}_{\text{int}}^{(2)} + \mathcal{H}_M, \\ \mathcal{H}_e &= \sum_{\alpha} \varepsilon_{\alpha} a_{\alpha}^{\dagger} a_{\alpha}, \quad \mathcal{H}_M = \sum_{j, q} \hbar \omega_{jq} \xi_j^{\dagger} \xi_{qj}, \\ \mathcal{H}_{\text{int}}^{(1)} &= \sum_{\alpha\alpha'q} A^{(j)} (a\alpha'q) a_{\alpha}^{\dagger} a_{\alpha'} (\xi_{-qj}^{\dagger} + \xi_{qj}), \\ \mathcal{H}_{\text{int}}^{(2)} &= \sum_{\alpha\alpha'qq'j} B^{(j)} (a\alpha'qq') a_{\alpha}^{\dagger} a_{\alpha'} \xi_{jq}^{\dagger} \xi_{q'j} + \sum_{\alpha\alpha'qq'j} C^{(j)} (a\alpha'qq') a_{\alpha}^{\dagger} a_{\alpha'} (\xi_{-qj}^{\dagger} \xi_{-q'j}^{\dagger} + \xi_{qj} \xi_{q'j}), \end{aligned} \right\} \quad (4)$$

$j$  ( $=1, 2$ ) отвечает двум ветвям магнонов в анизотропном АФ. Матричные элементы  $A, B, C$  имеют вид

$$\left. \begin{aligned} A^{(j)} (a, a', q) &= Q_q \langle a | e^{iqr} | a' \rangle \delta_{j, 2}, \\ B^{(j)} (a\alpha'qq') &= \Gamma_{qq'}^{(j)} \langle a | e^{i(q+q')r} | a' \rangle, \\ C^{(j)} (a\alpha'qq') &= Z_{qq'}^{(j)} \langle a | e^{i(q+q')r} | a' \rangle. \end{aligned} \right\} \quad (5)$$

Индекс  $\alpha$  в (4), (5) нумерует собственные функции оператора кинетической энергии электрона в магнитном поле  $\mathcal{H}_e$  (с собственными значениями  $\varepsilon_{\alpha} = p_x^2/2m^* + \hbar\Omega \left(n + \frac{1}{2}\right)$ ) и включает в себя квантовые числа  $n, p_x, p_y$ , где  $n$  — номер уровня Ландау;  $p_x, p_y$  — компоненты импульса электрона вдоль соответствующих осей (калибровка  $A_x = 0, A_y = Hx, A_z = 0$ ). В частности, входящие в (5) коэффициенты  $C, \Gamma, Z$  для принятой здесь модели АФ в случае  $j = 2$  имеют вид

$$\left. \begin{aligned} Q_q &= A (S H_{\parallel}^*)^{1/2} (1 - H^2/H_E^2)^{3/4} / 4N (H_E (1 - H^2/H_E^2) + 2H_a)^{1/2}, \\ \Gamma_{qq'} &= AN (H_E (1 - H^2/H_E^2) - H_a) / 8N H_E H_{\parallel} (1 - H^2/H_E^2)^{1/2}, \\ Z_{qq'} &= -AN (H_E (1 - H^2/H_E^2) + H_a) / 16N H_E H_{\parallel} (1 - H^2/H_E^2)^{1/2}, \\ H_{\parallel} &= (H_E H_a)^{1/2}, \end{aligned} \right\} \quad (6)$$

где  $H_a$  — поле анизотропии,  $H_E$  — обменное поле схлопывания подрешеток. В длинноволновом приближении в (6) выписаны только главные члены разло-

жения по волновому вектору колебаний намагниченности. В этом же приближении в принятой здесь геометрии магнотные частоты имеют вид

$$\omega_{q1} = \mu (H^2 + H_{EA}^2)^{1/2}, \quad (7)$$

$$\omega_{q2} = \mu H_{EA} (1 - H^2/H_E^2)^{1/2}, \quad (8)$$

где  $\mu$  — атомный магнитный момент,  $H_{EA} \sim H_{\parallel}$ . Фигурирующие в (6), (8) поля  $H_a$ ,  $H_E$  выражаются через обменные интегралы (2), (3) и в случае  $|\Delta J_{12}| \ll \ll |J_{12}|$  имеют вид

$$H_E \approx 4 |J_{12}|, \quad H_a \approx 2 |\Delta J_{12}|.$$

## 2. Коэффициент усиления спиновых волн в магнитном поле

Кинетическое уравнение для магнотной функции распределения, описывающее одно- и двухмагнотные процессы излучения и поглощения, соответствующие гамильтониану (4), имеет вид

$$\begin{aligned} \frac{\partial m_q^{(j)}}{\partial t} = & \frac{2\pi}{\hbar} \sum_{\alpha\alpha'} |A^{(j)}(\alpha\alpha'q)|^2 \{ (m_q^{(j)} + 1) f_{\alpha'} (1 - f_{\alpha}) - m_q^{(j)} f_{\alpha} (1 - f_{\alpha'}) \} \delta(\varepsilon_{\alpha'} - \varepsilon_{\alpha} - \omega_{qj}) - \\ & - \frac{2\pi}{\hbar} \sum_{\alpha\alpha'q'} |B^{(j)}(\alpha'\alpha, -q', q)|^2 \{ f_{\alpha} m_q^{(j)} - m_q^{(j)} f_{\alpha'} - f_{\alpha'} f_{\alpha} (m_q^{(j)} - m_{q'}^{(j)}) + \\ & + (f_{\alpha} - f_{\alpha'}) m_{q'}^{(j)} m_q^{(j)} \} \delta(\varepsilon_{\alpha} - \varepsilon_{\alpha'} + \omega_{qj} - \omega_{q'j}) + \frac{8\pi}{\hbar} \sum_{\alpha\alpha'q'} |C^{(j)}(\alpha\alpha', -q, -q')|^2 \times \\ & \times \{ (m_q^{(j)} + m_{q'}^{(j)} + 1) f_{\alpha} (1 - f_{\alpha'}) + (f_{\alpha} - f_{\alpha'}) m_{q'}^{(j)} m_q^{(j)} \} \delta(\varepsilon_{\alpha} - \varepsilon_{\alpha'} - \omega_{qj} - \omega_{q'j}) + \\ & + I_d \{ m_q^{(j)} \}, \end{aligned} \quad (9)$$

где  $m_q^{(j)}$  и  $f_{\alpha}$  — магнотная и электронная функции распределения;  $I_d \{ m_q^{(j)} \}$  — интеграл столкновений, включающий все оставшиеся (помимо электрон-магнотного) механизмы рассеяния.

Рассмотрим отклонение  $m_{qxj}^1$  от стационарного распределения магнотов  $\tilde{m}_q^j$ , которое устанавливается в результате дрейфа электронов с функцией распределения

$$\bar{f}_{\alpha} = \left\{ \exp \beta \left[ \varepsilon_{\alpha} + \frac{1}{2m^*} (p_x - m^* v_D)^2 \right] + 1 \right\}^{-1}, \quad (10)$$

где  $v_D$  — скорость дрейфа электронов вдоль оси  $z$ . Полагая  $m_q^{(j)} = \tilde{m}_q^{(j)} + m_{qxj}^1$  и  $f_{\alpha} = \bar{f}_{\alpha}$ , получим из (10) следующее уравнение для  $m_{qxj}^1$

$$\frac{\partial m_{qxj}^1}{\partial t} = R_1^{(j)}(q_x) m_{qxj}^1 + R_2^{(j)}(q_x) m_{qxj}^1 + I_d \{ m_q^{(j)} \}, \quad (11)$$

$$R_1^{(j)}(q) = \frac{2\pi}{\hbar} \sum_{\alpha\alpha'} |A^{(j)}(\alpha\alpha'q)|^2 (\bar{f}_{\alpha'} - \bar{f}_{\alpha}) \delta(\varepsilon_{\alpha'} - \varepsilon_{\alpha} - \omega_{qj}), \quad (11a)$$

$$\begin{aligned} R_2^{(j)}(q) = & - \frac{8\pi}{\hbar} \sum_{\alpha\alpha'q'} |C^{(j)}(\alpha'\alpha, -q, -q')|^2 \{ \bar{f}_{\alpha} (1 - \bar{f}_{\alpha'}) + \tilde{m}_q^{(j)} (\bar{f}_{\alpha} - \bar{f}_{\alpha'}) \} \times \\ & \times \delta(\varepsilon_{\alpha} - \varepsilon_{\alpha'} - \omega_{qj} - \omega_{q'j}). \end{aligned} \quad (11b)$$

При выводе (11), (11a) было учтено, что в принятом здесь длинноволновом приближении  $\omega_{qj} = \omega_{0j}$  вклад члена  $\sim |B|^2$  в правой части (9) в интеграл столкновений обращается в нуль, так как процессы одновременного рождения и уничтожения магнотна с энергией  $\omega_{0j}$  не изменяют стационарного распределения. Введенная в (11) величина  $R^{(j)}(q) = R_1^{(j)} + R_2^{(j)}$  определяет коэффициент уси-

ления спиновых волн  $j$ -й ветви. При произвольной величине внешнего магнитного поля матричные элементы  $\langle \alpha | e^{iqr} | \alpha' \rangle$ , входящие в (5), (11а) имеют вид

$$\langle \alpha | e^{iqr} | \alpha' \rangle = \delta_{p_y \alpha', p_y \alpha + q} \delta_{p_x \alpha', p_x \alpha + q_x} (n! n'!)^{-1/2} \times \\ \times \exp(-q_x^2 \rho_0^2 / 4) (q_x^2 \rho_0^2 / 2)^{\frac{|n' - n|}{2}} L_n^{|n' - n|} (q_x^2 \rho_0^2 / 2), \quad (12)$$

где  $q_x^2 = q_x^2 + q_y^2$ ,  $L_n^{|n' - n|}$  — обобщенные полиномы Лагерра,  $\rho_0 = \sqrt{2\mu_B c \hbar / e H}$  — магнитная длина.

### 3. Коэффициент усиления спиновых волн в ультраквантовом пределе

Рассмотрим условия усиления низкочастотной ветви ( $j = 2$ ). В квантовом пределе, когда циклотронная частота  $\hbar \Omega \gg \hbar \omega_0$ ,  $T$ , в выражениях (11), (12) можно ограничиться приближением первого уровня Ландау. Полагая в этом случае  $n = n' = 0$ , из (5), (12) получим

$$|A^{(2)}(\alpha \alpha', q_x)|^2 = Q^2 \delta_{q_x, p'_x - p_x} \delta_{p'_x, p_x}, \quad (13)$$

$$|C^{(2)}(\alpha \alpha', -q', -q_x)|^2 = Z^2 e^{-q_x^2 \rho_0^2 / 2} \delta_{p'_x - p_x, -q_x - q_x} \delta_{p'_x - p_x, -q'_x}, \quad (14)$$

где  $Q_q = Q$ ,  $Z_{qq}^{(2)} = Z$  не зависят от  $q$ ,  $q'$ . Подставляя (13) в (11а) и учитывая, что суммирование по  $p_x$  приводит к появлению фактора  $L_x L_y m^* \Omega / 2\pi \hbar$ , получим для  $R_1(q_x)$  следующее выражение

$$R_1(q_x) = \frac{Q^2 V m^* \Omega}{\hbar^4 2\pi |q_x|} \Delta, \quad (15)$$

$$\Delta = f^0 \left( p_x = \frac{m^* \omega_{02}}{q_x} - p_D + \frac{\hbar q_x}{2} \right) - f^0 \left( p_x = \frac{m^* \omega_{02}}{q_x} - p_D - \frac{\hbar q_x}{2} \right), \quad (16)$$

где  $f^0$  — равновесная функция распределения электронов,  $V$  — объем системы. В случае, когда волновой вектор волны удовлетворяет условию  $\hbar^2 q_x^2 / 8m^* T \ll 1$ , для невырожденного электронного газа вместо (16) получим

$$\Delta \approx e^{(\mu - \hbar \Omega / 2) / T} \frac{\hbar \omega_{02}}{T} \left( 1 - \frac{q_x v_D}{\omega_{02}} \right) \exp \left[ - \frac{\omega_{02}^2 m^*}{2q_x^2 T} \left( 1 - \frac{q_x v_D}{\omega_{02}} \right)^2 \right], \quad (17)$$

где  $\mu$  — химический потенциал.

Относительно величины  $R_2$  отметим, что поскольку входящая в выражение для  $R_2$  (11б) стационарная функция распределения магнонов из-за наличия члена  $I_q \{m_q\}$  в общем случае неизвестна, ее можно оценить лишь приближенно. Считая, что  $\tilde{m}_q$  в условиях дрейфа электронов мало отличается от равновесной, т. е. полагая  $\tilde{m}_q \approx m_q^0$  и  $m^* v_D^2 / 2 \ll T$  с использованием (14) для  $R_2$  из (11б), получим

$$R_2(q_x) = - \frac{\Omega}{\pi^3} \frac{m^* V^2 Z^2}{\rho_0^2 \hbar^4} e^{(\mu - \hbar \Omega / 2) / T} K_0(\hbar \omega_{02} / T), \quad \left. \begin{aligned} & \\ & K_0(x) \sim \begin{cases} \sqrt{\pi / 2x} e^{-x}, & x \gg 1, \\ -\ln 2x, & x \ll 1. \end{cases} \end{aligned} \right\} \quad (18)$$

Из (15)–(18) следует, что  $R_1(q_x) < 0$  при  $\omega_{02} - q_x v_D > 0$  и  $R_1(q_x) > 0$  при  $\omega_{02} - q_x v_D < 0$ , в то время как  $R_2(q_x)$  в рассматриваемом случае всегда отрицательна. Отсюда, в частности, следует, что высокочастотная ветвь оказывается при сделанных предположениях всегда затухающей. Таким образом, для усиления спиновых волн необходимо, чтобы при  $\omega_{02} - q_x v_D < 0$  выполнялось условие

$$\Delta = |R_1(q_x)| / |R_2(q_x)| \geq 1. \quad (19)$$

В практически интересном случае, когда  $H^2 / H_E^2 \ll 1$  (типичные значения  $H_E$  в АФ составляют  $\sim 10^6 \div 10^7$  Э) при выполнении условия  $q_x v_D \gg \omega_{02}$  с исполь-

зованием (15)—(18) и формул (6) для  $Q$  и  $Z$  получим для  $\Lambda$  следующее выражение

$$\Lambda \approx \frac{4\pi^2 S}{K_0 (\omega_{02}/T)} \frac{\hbar v_D}{aT} \left( \frac{\rho_0}{a} \right)^2 \frac{H_{\parallel}^3}{H^3}, \quad (20)$$

$a$  — постоянная решетки. Величина магнитного поля в (19) ограничена снизу требованием  $H \gg H_{\parallel}$  ( $\Omega \gg \omega_0$ ). Так, например, при  $T=20$  К  $H_{\parallel}=5 \cdot 10^4$  Э,  $H=5 \cdot 10^5$  Э,  $v \approx 10^6$  см/сек,  $a=3 \cdot 10^{-8}$  см,  $\omega_0=10^{-3}$  эВ,  $m^*=m_0$ ,  $S=2$  величина  $\Lambda \sim 20$ , т. е. критерий усиления (19) выполняется с большим запасом. На практике более жесткое условие для усиления спиновых волн представляет требование

$$\eta > \gamma, \quad (21)$$

где  $\eta=(R_1+R_2)/\omega_{02}$  — инкремент усиления спиновых волн,  $\gamma$  — декремент затухания, определяемый интегралом столкновений  $I_a(m_q) \sim \gamma m_q^{-1}$ . Если при тех же значениях параметров, которые были взяты для оценки  $\Lambda$  выбрать  $H_E=10^6$  Э,  $A=0.5$  эВ, и концентрации носителей тока  $n \sim 5 \cdot 10^{17}$  величина  $\eta$  составит:  $\eta \approx R_1/\omega_{02} \sim 10^{-1}$ , т. е. на порядок превосходит декремент затухания  $\gamma$ , взятый из оценок затухания спиновых волн в иттриевых ферритах:  $\gamma \sim 10^{-2} \div 10^{-3}$  [1].

#### 4. Обсуждение результатов

Полученные результаты отвечают на вопрос об условиях усиления спиновых и электромагнитных волн в одноосном АФ. Вызванный сильным электрическим полем, параллельным оси анизотропии АФ, поток электронов приводит к генерации магнонов, принадлежащих второй резонансной ветви с частотой  $\omega = \omega_2$ , с которой взаимодействует электромагнитная волна с магнитной компонентой, направленной вдоль магнитного поля. Электромагнитная волна с перпендикулярной магнитной компонентой взаимодействует с первой резонансной ветвью, что приводит к обычному поглощению волны при АФР. Такой же вид имеют условия усиления и во всех других случаях, для которых вектор антиферромагнетизма перпендикулярен магнитному полю: усиление имеет место лишь для волн с продольной магнитной компонентой.

В настоящее время отсутствуют надежные экспериментальные данные, которые свидетельствовали бы об усилении спиновых волн в магнитоупорядоченных кристаллах. Это обстоятельство связано, по-видимому, с тем, что все эксперименты в этой области проводились исключительно для ФМ, в которых основным является релятивистский механизм усиления, неспособный обеспечить надежного выполнения критерия усиления (21). Имеющееся в ФМ сильное  $s$ - $f$ -обменное взаимодействие носителей тока с намагниченностью в этом случае вносит лишь незначительный вклад в суммарное усиление по сравнению с релятивистским и экспоненциально стремится к нулю с увеличением взаимодействия при  $AS \gg T$ :  $R_{\Phi} \sim \exp(-AS/T)$ .

Сравнение коэффициента усиления в АФ (15), (18) с имеющимися оценками для  $R_{\Phi}$  в ФМ (обусловленного релятивистским взаимодействием) при одинаковых скоростях дрейфа дает отношение:  $R_{A\Phi}/R_{(\Phi)} \sim 10^4 \div 19^5$ . Важную роль играет также то обстоятельство, что во многих АФ частотный интервал, в котором возможен АФР, лежит в далекой инфракрасной области, в то время как в ФМ резонанс возможен лишь в микроволновом или уже освоенном радиоволновом диапазоне.

В заключение автор выражает благодарность В. Г. Веселаго и К. М. Голанту, обративших его внимание на актуальность проблемы усиления спиновых волн в магнитоупорядоченных кристаллах.

<sup>1</sup> Отметим, что рассмотренный в работе бесстолкновительный предел ( $ql \gg 1$ , где  $l$  — длина пробега электрона) предполагает АФ с достаточно высокой подвижностью носителей (например,  $\text{Hg}_{1-x}\text{Mn}_x\text{Te}$  с  $u \sim 10^5$  см<sup>2</sup>/В·с). В АФ с малой подвижностью носителей тока ( $u \lesssim 10 \div 10^2$  см<sup>2</sup>/В·с), как правило, реализуется обратный предел  $ql \ll 1$ . Этот случай, однако, выходит за рамки настоящей статьи и требует отдельного рассмотрения. Тем не менее и в этом случае усиления в АФ может на несколько порядков превосходить соответствующую величину в ФМ.

#### Л и т е р а т у р а

- [1] *Ахиезер А. И., Барьяхтар В. Г., Пелетминский С. В.* Спиновые волны. М.: Наука, 1967. 386 с.
- [2] *Стил М., Вюраль Б.* Взаимодействие волн в плазме твердого тела. М.: Атомиздат, 1973. 248 с.
- [3] *Лазно В. Д.* ФТТ, 1984, т. 26, № 8, с. 2547—2548.
- [4] *Вонсовский С. В.* Магнетизм. М.: Наука, 1971. 1032 с.

Поступило в Редакцию  
25 октября 1984 г.  
В окончательной редакции  
18 марта 1985 г.

---